

# Projeto 1 - Física Estatística Computacional

Edmur C. Neto - nº12558492

## 1 Introdução

Neste projeto buscamos aplicar o método discretizado da Transformada de Fourier, para o estudo das frequências embutidas em um sinal qualquer.

A transformada de Fourier é calculada da seguinte forma no contínuo:

$$Y(f) = \int_{-\infty}^{\infty} y(t)e^{i2\pi t} dt = \int_{-\infty}^{\infty} y(t)e^{i\omega t} dt \quad (1)$$

Porém no código teremos de discretizar a equação em um somatório da seguinte forma:

$$Y_n = \sum_{m=0}^{N-1} y_m e^{2\pi i m n / N} \quad (2)$$

Onde o índice  $m$  corresponde à discretização do tempo em  $t_m = m\Delta t$  e o índice  $n$  corresponde à discretização das frequências relacionadas à transformada  $f_n = \frac{n}{(N\Delta t)}$ .

Além disso, podemos calcular a transformada inversa de Fourier com o intuito de voltar ao sinal utilizado, com a utilização do seguinte somatório:

$$y_m = \frac{1}{N} \sum_{n=0}^{N-1} Y_n e^{-2\pi i m n / N} \quad (3)$$

Com os mesmos índices do somatório anterior.

## 2 Desenvolvimento e Resultados

### 2.1 Tarefa - I

Na primeira tarefa basicamente criamos um programa no qual recebe um banco de dados contendo  $N$  pares de informações de um sinal, sendo estas organizadas em (tempo ( $s$ ), amplitude ( $y_m$ )), das quais só utilizaremos a amplitude para realizar a transformada do sinal. A recepção do sinal contido no arquivo "data.in" foi feita da seguinte forma:

```
!Dados do sinal

do l = 0,1000
    read(1,*, end=1) a, y_sinal(l)
enddo
1 continue
N = l
```

Dessa forma, os dados da amplitude serão salvos no vetor "ysinal", o qual passa a ter N casas. A próxima parte calcula, com a aplicação da função **Do**, o somatório para cada ponto do sinal, ou seja, um ponto da amplitude da transformada é o resultado do somatório do produto de todos os pontos do sinal com a exponencial da equação (2). O código para esse cálculo é tal:

```
!Transformada de Fourier do sinal

do k = 0, ((N/2)-1)
  f(k) = k/(N*dt)
  y_t = (0,0)
  do j = 0, N-1
    y_t = y_t + y_sinal(j)*exp(2.d0*pi*i*k*j/N)
  enddo
  y_transf(k) = y_t*2.d0/N
  write(3,*) f(k), real(y_t*2.d0/N)
  write(4,*) f(k), aimag(y_t*2.d0/N)
enddo
```

Nesse código também será calculado a frequência para cada ponto da transformada, por meio da equação  $f(k) = k/N * \Delta t$ , alocando o valor no vetor f(k), desse modo, construímos um espaço de frequência  $Y_n \times f_n$ . Porém, como a exponencial é complexa a amplitude desse espaço também será, portanto, utilizamos uma iteração até (N/2) para gerar (N/2) pares de números, então dividimos a amplitude entre Real e Imaginário. Desse modo, distinguimos a frequência correspondida à função cosseno e seno do sinal. Salvamos os dados da frequência e sua correspondente amplitude em um arquivo Real e Imag..

Além disso, neste código realizamos a transformada inversa do sinal, a qual consiste em calcular o somatório da equação (3) afim de comparar com o sinal oferecido e validar a transformada. O código para isto está disposto abaixo:

```
!Transformada Inversa de Fourier do sinal

do k = 0, N-1
  y_i = (0,0)
  do j = 0, (N/2-1)
    y_i = y_i + y_transf(j)*exp(-2.d0*pi*i*k*j/N)
  enddo
  write(2,*) (k*dt) , real(y_i)
enddo
```

O somatório é realizado com base nas amplitude encontradas no código anterior com o intuito de voltar ao sinal oferecido. Os dados das amplitudes calculadas e os tempos respectivos são alocados em um arquivo "data.out".

## 2.2 Tarefa-II

Nessa tarefa iremos utilizar o programa anterior para calcular a transformada de Fourier de alguns sinais dados, os sinais seguem a seguinte equação:

$$y_i = a_1 \cos(w_1 t_i) + a_2 \sin(w_2 t_i), t_i = i\Delta t, i = 1, \dots, N \quad (4)$$

Então foi preciso fazer um programa, cujo está denominado "sinal.f", para gerar os pontos a serem lidos. O código utilizado foi:

Program sinal.f

```

write(*,*) "N, a1, a2, w1, w2, dt"
read(*,*) N, a1, a2, w1, w2, dt

w1 = w1*pi
w2 = w2*pi
t = 0.d0

do i = 0, (N-1)
    t = i*dt
    y1 = a1*dcos(w1*t) + a2*dsin(w2*t)
    write(1,*) t, y1
enddo
close(1)

```

O programa recebe os parâmetros da equação (4) pelo terminal e realiza um loop calculando os valores das amplitudes de acordo com o tempo, construindo um espaço de amplitude e tempo ( $y_m$  x  $t$ ) e deixando os valores no arquivo "data.in".

Agora serão aplicados os parâmetros dados abaixo para o cálculo da transformada.

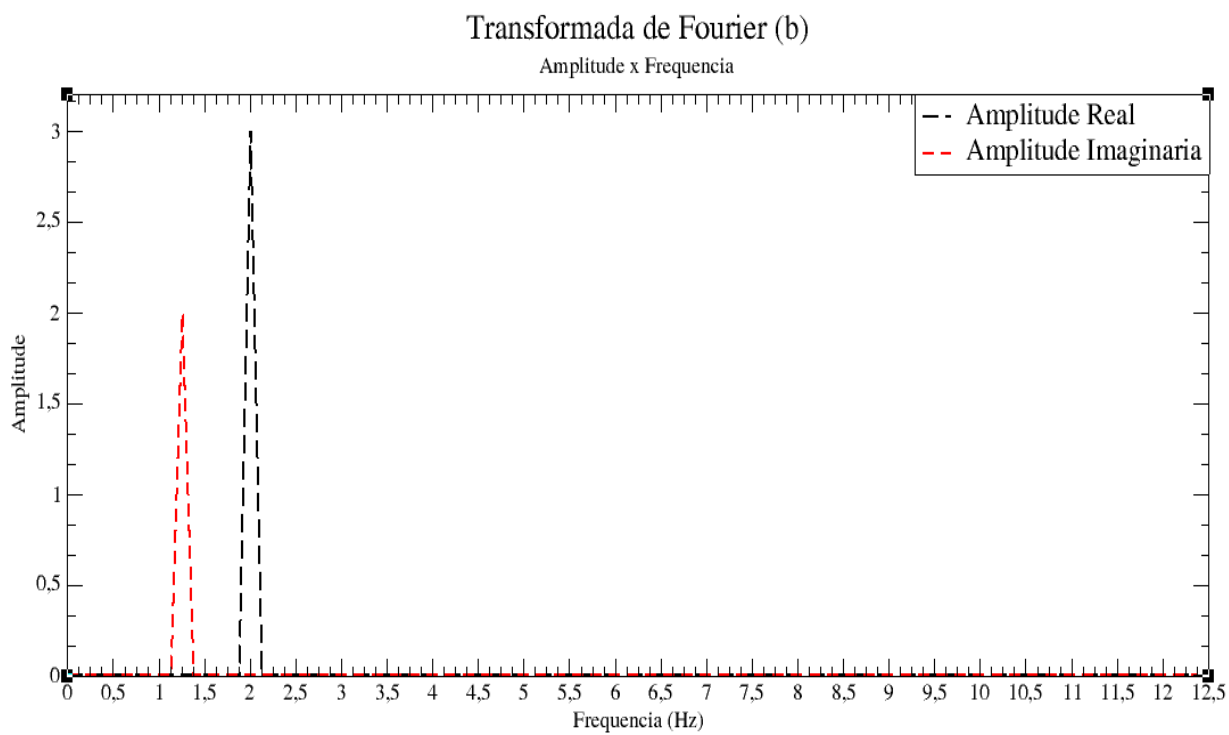
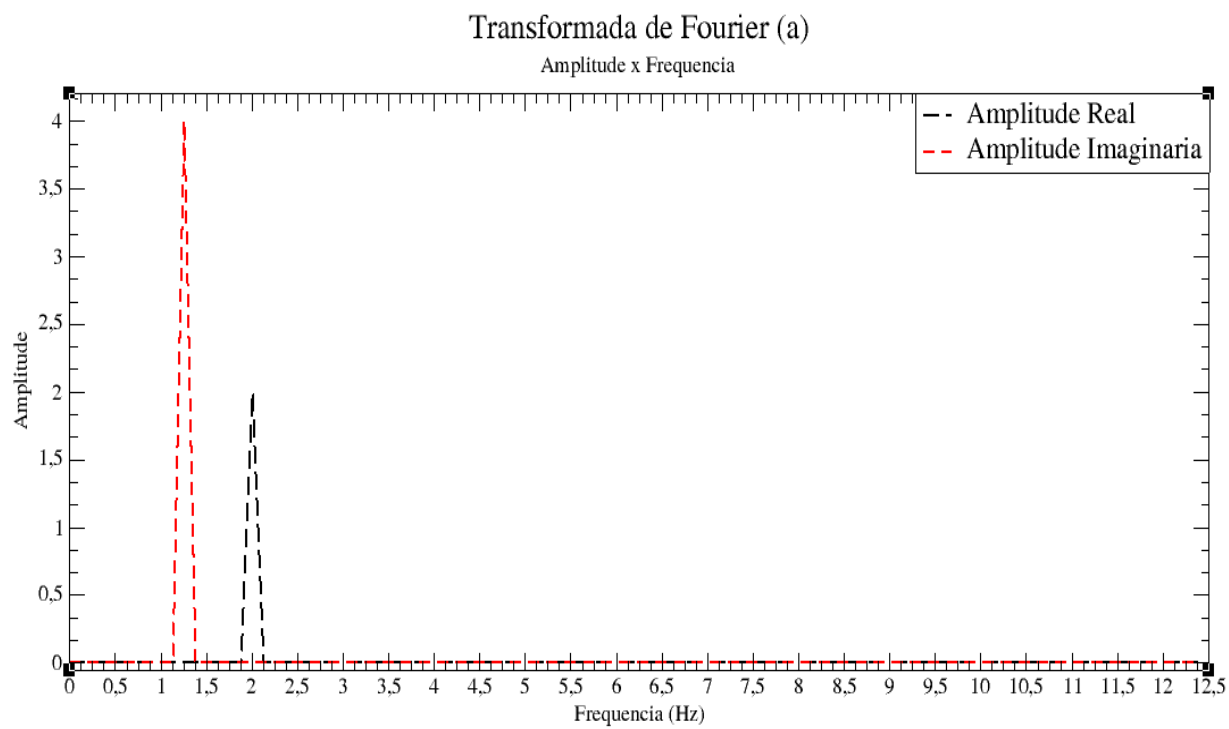
$$(a) N = 200, \Delta t = 0.04, a_1 = 2, a_2 = 4, \omega_1 = 4\pi Hz, \omega_2 = 2.5\pi Hz$$

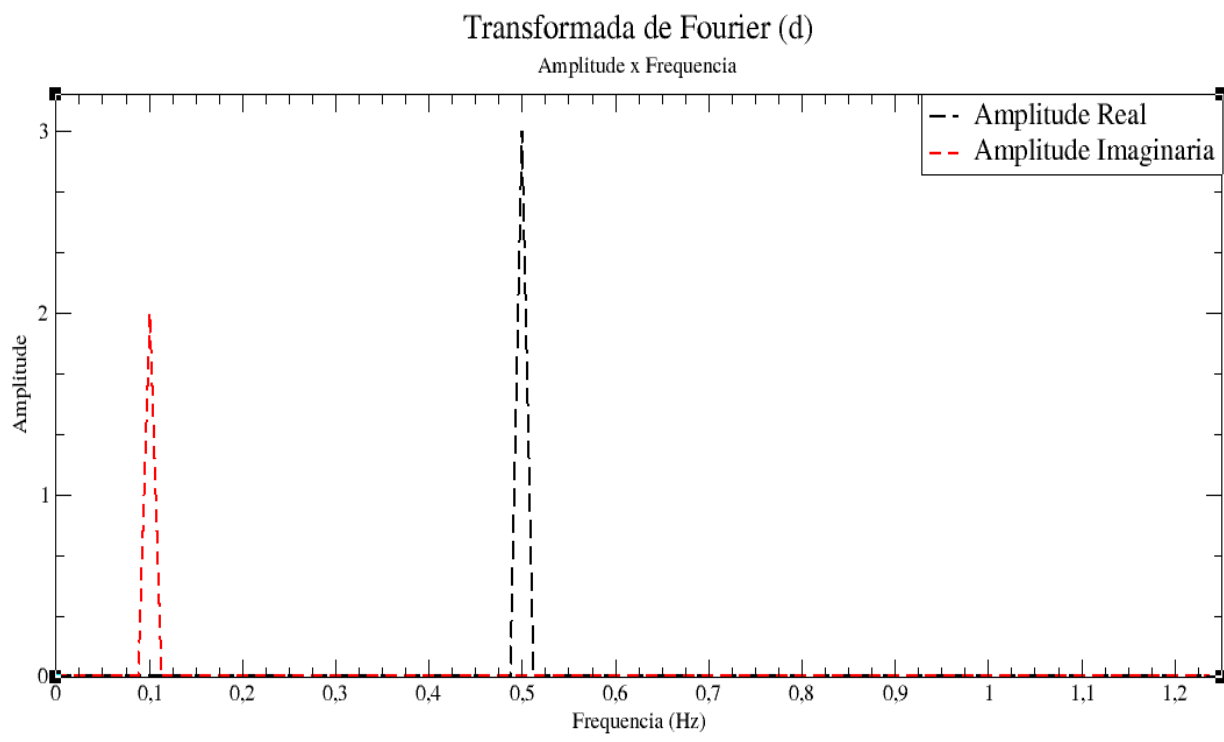
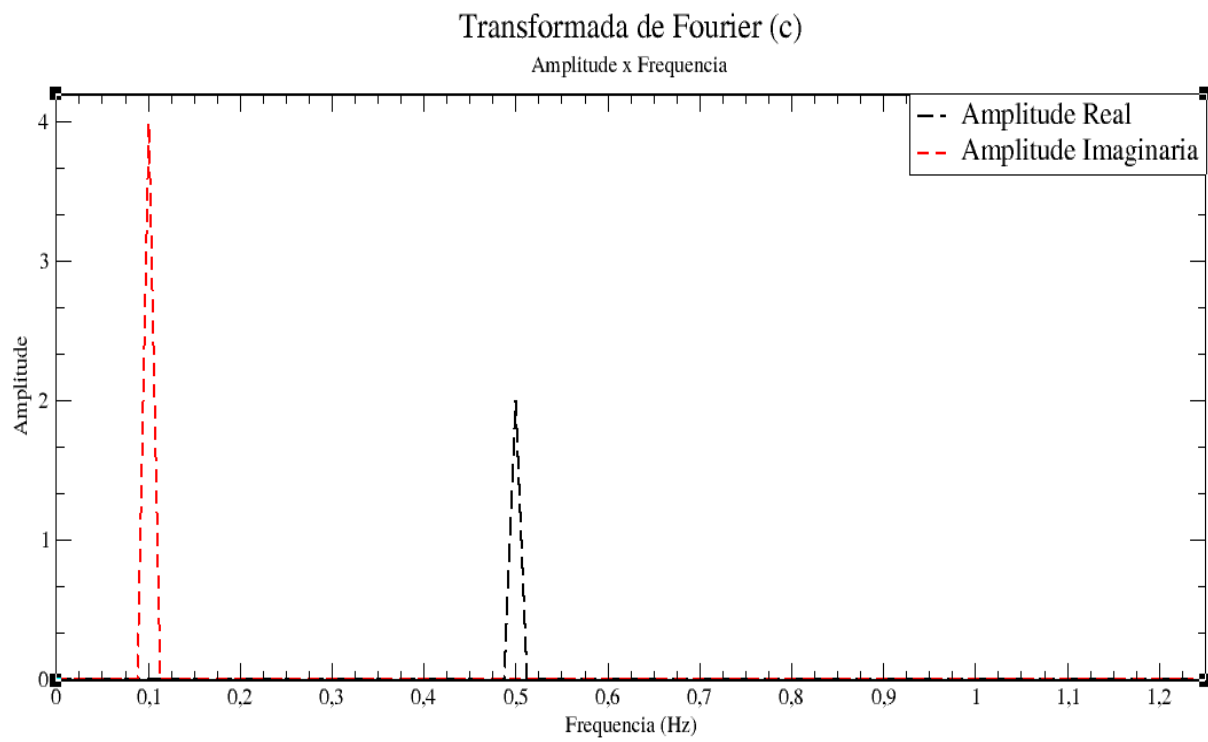
$$(b) N = 200, \Delta t = 0.04, a_1 = 3, a_2 = 2, \omega_1 = 4\pi Hz, \omega_2 = 2.5\pi Hz$$

$$(c) N = 200, \Delta t = 0.4, a_1 = 2, a_2 = 4, \omega_1 = 4\pi Hz, \omega_2 = 0.2\pi Hz$$

$$(d) N = 200, \Delta t = 0.4, a_1 = 3, a_2 = 2, \omega_1 = 4\pi Hz, \omega_2 = 0.2\pi Hz$$

Encontramos os seguintes gráficos de Amplitude x Frequência a partir dos dados:





Observamos que nos sinais (a) e (b), a frequência de maior amplitude é justamente  $f = \frac{\omega}{2\pi}$ , no caso real  $\omega = \omega_1$  e para o caso imaginário  $\omega = \omega_2$ .

Porém, nos sinais (c) e (d) a frequência real não correspondeu a equação, isso é explicado por meio da frequência de Nyquist,  $f_N = 1/2\Delta t$ , esta frequência limita o espaço Amplitude x Frequência, portanto, como ocorreu no caso de (c) e (d), não conseguimos representar frequências maiores que  $f_N = 1.25Hz$ .

Para estimar se os dados estão corretos podemos calcular onde será o pico "falso" e comparar com o gráfico, a partir da equação  $f_{verdadeiro} - f_N = f_N - f_{falso}$ , sendo assim, o pico "falso" estará em  $f = 0.5 Hz$ , como vimos no gráfico, validando o código utilizado.

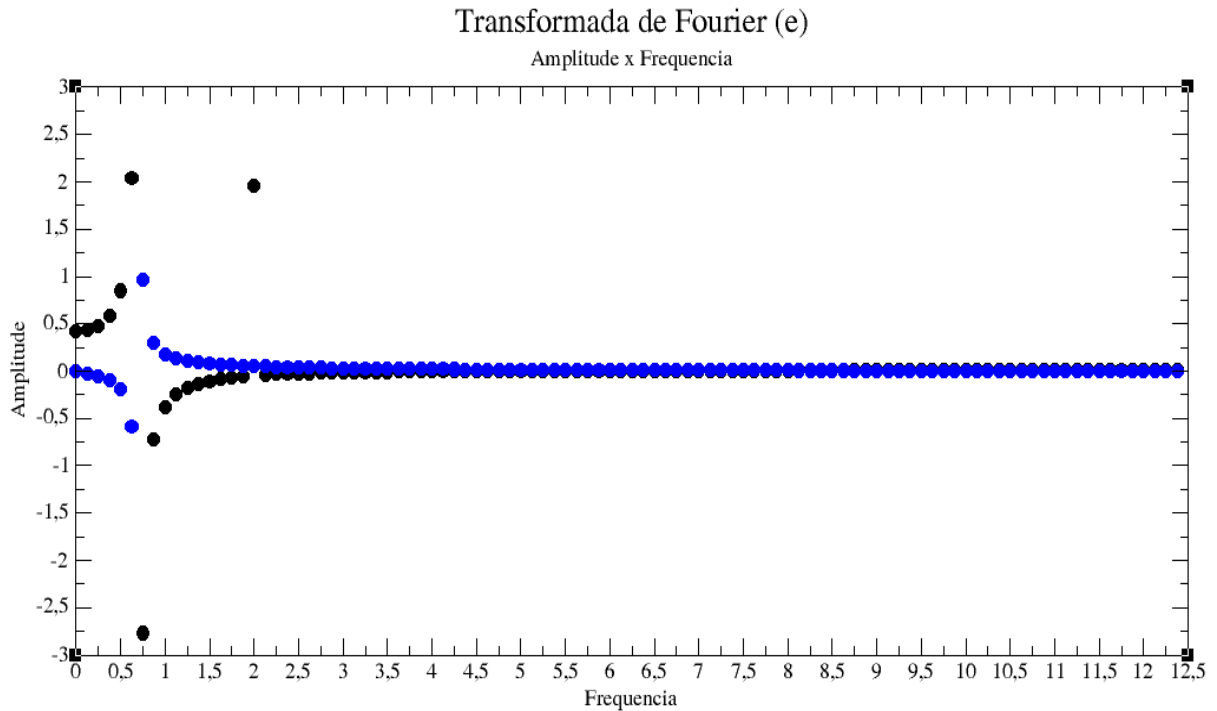
## 2.3 Tarefa III

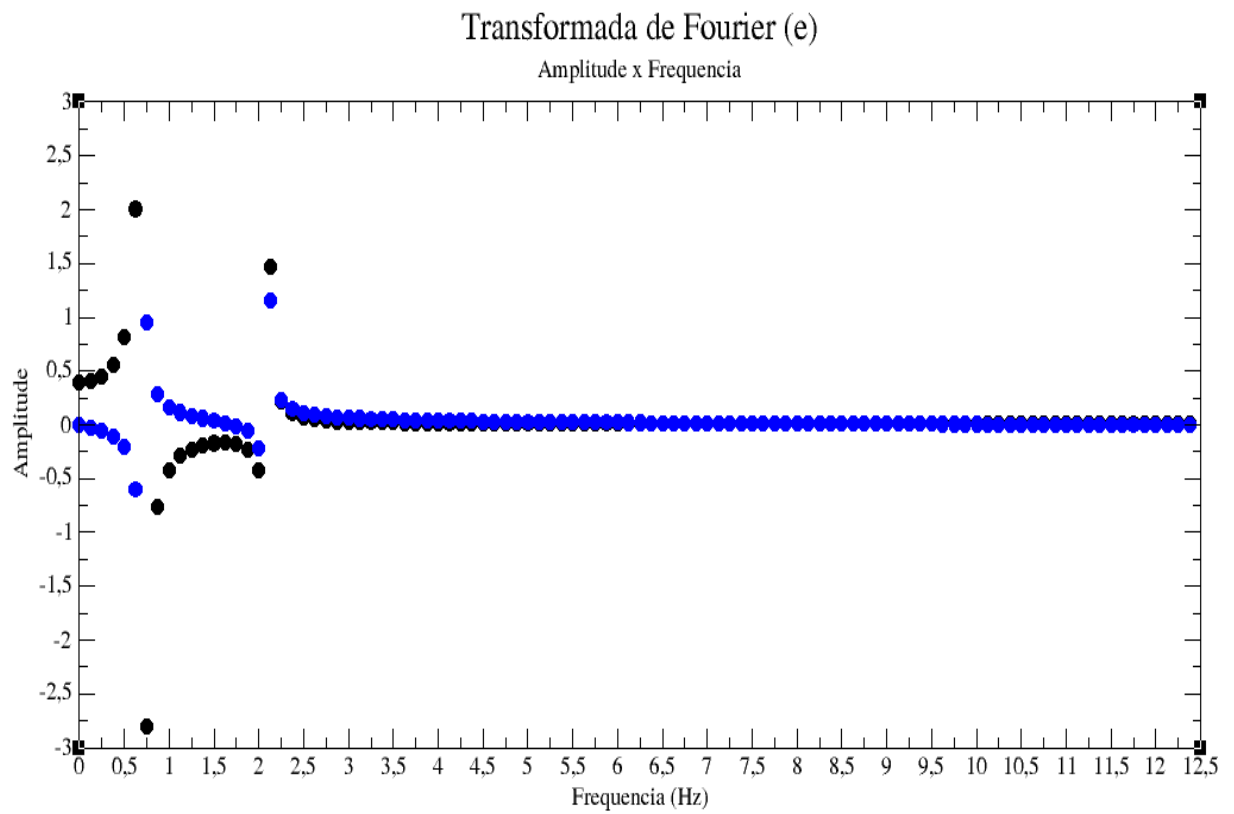
Nessa tarefa aplicamos a transformada de Fourier em outros dois sinais:

$$(e) N = 200, \Delta t = 0.04, a_1 = 2, a_2 = 4, \omega_1 = 4\pi Hz, \omega_2 = 1.4\pi Hz$$

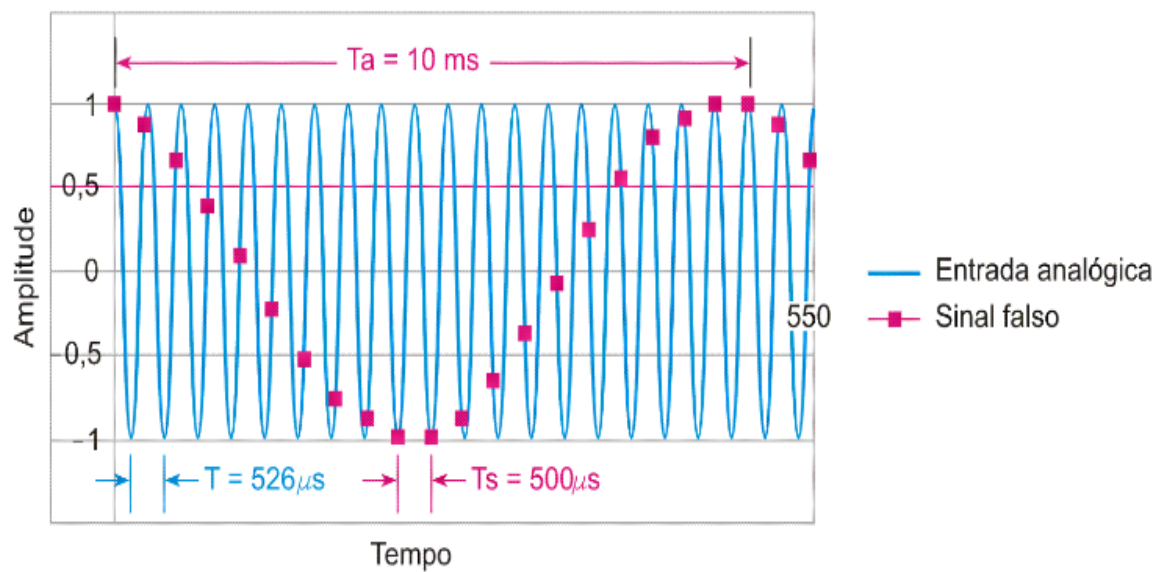
$$(f) N = 200, \Delta t = 0.04, a_1 = 2, a_2 = 4, \omega_1 = 4.2\pi Hz, \omega_2 = 1.4\pi Hz$$

Obtemos os seguintes gráficos:





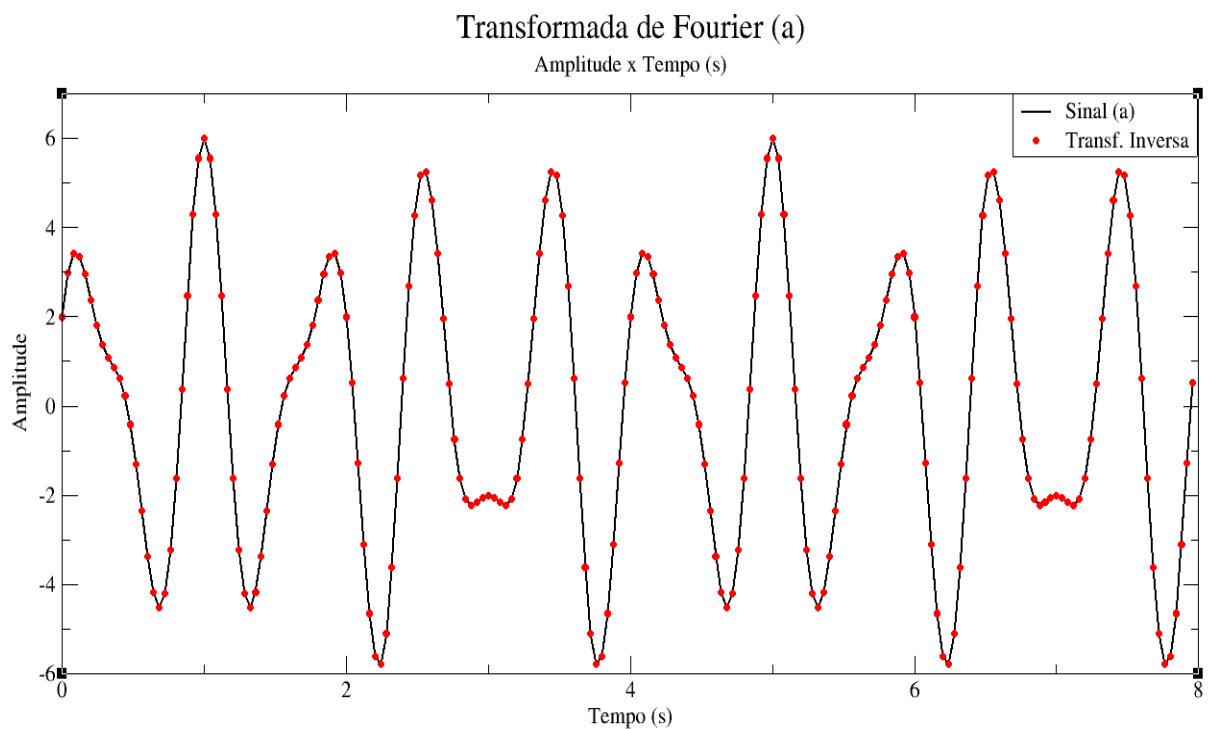
Observamos um espalhamento nos pontos da frequência do sinal diferente do que vimos nos sinais acima, isto é devido ao intervalo de tempo de recolhimento dos dados, pois se o intervalo for suficientemente grande, estaremos recolhendo sinais falsos e, com isso, teremos mais que uma frequência correta, assim como esta exemplificado na imagem abaixo:



Por mais que as outras frequências estejam perto da frequência verdadeira, temos a formação de um "Aliasing", com a frequência dos outros sinais, de acordo com o gráfico de (e) e (f).

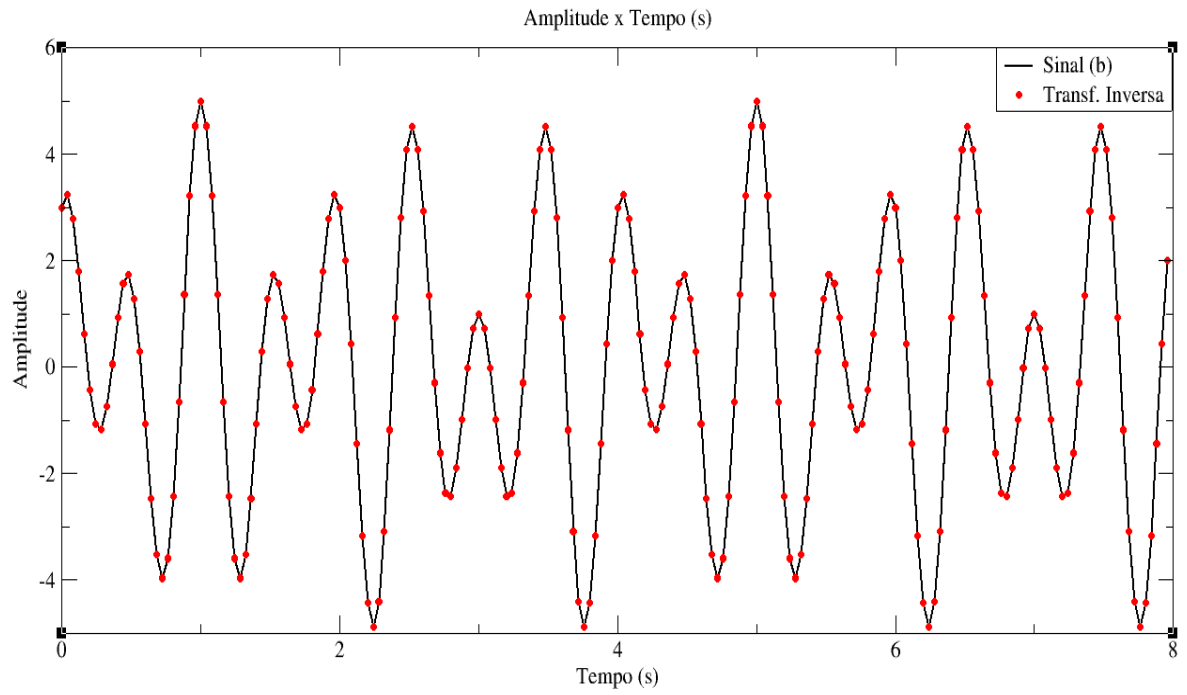
## 2.4 Tarefa IV

Na tarefa IV utilizamos a última parte do código da tarefa I, cálculo da transformada inversa de Fourier, para aferir se as análises estão válidas, o resultado esperado é que a transformada inversa esteja semelhante ao sinal colocado no código, obtemos os seguintes gráficos:

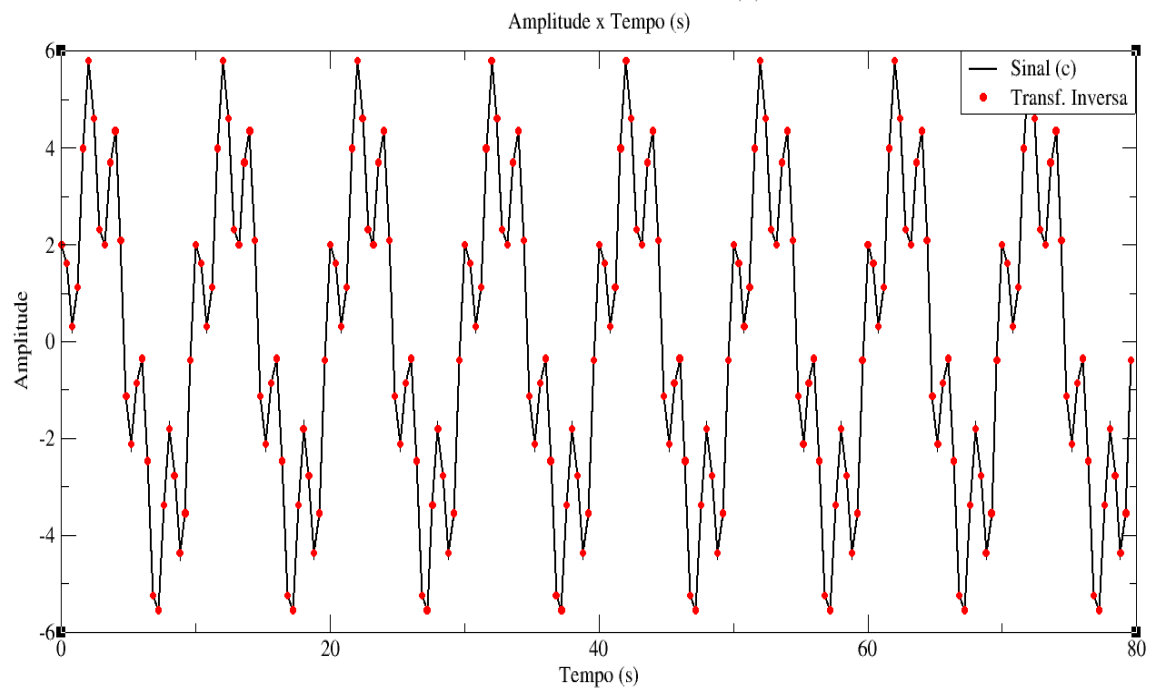


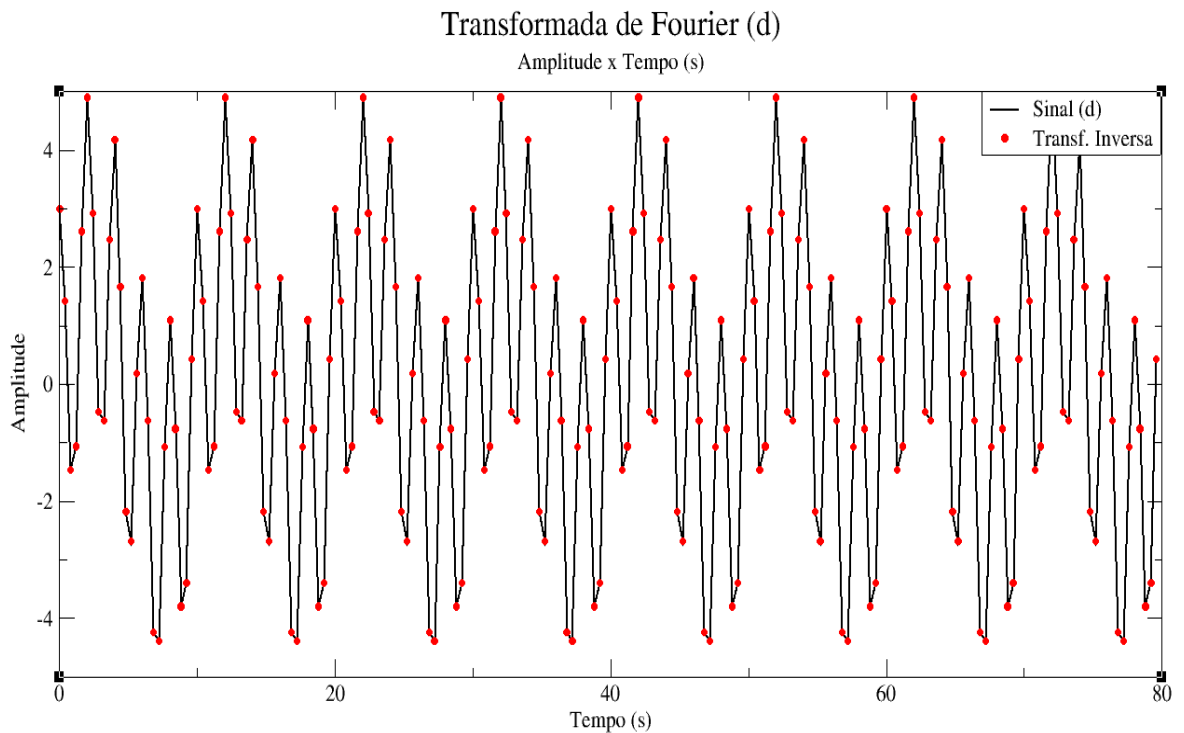


### Transformada de Fourier (b)



### Transformada de Fourier (c)





Podemos observar que o código está válido, pois a transformada inversa está correspondendo absolutamente ao sinal de entrada.

## 2.5 Tarefa V

O intuito da Tarefa V é medir a capacidade computacional do método discretizado da transformada de Fourier, e, além disso, aferir se há uma correlação entre o tempo de processamento e o número de dados do sinal.

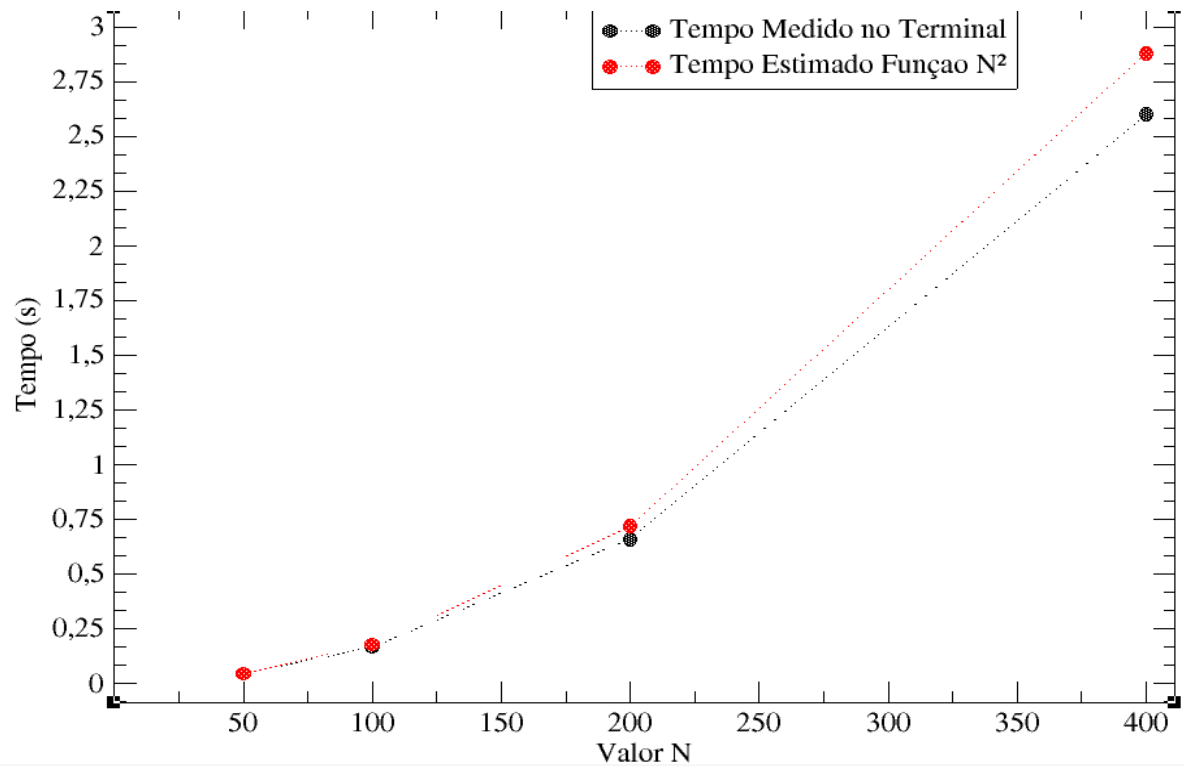
Para medir o tempo operacional utilizamos da função intrínseca do Fortran **cpu..time**, e ainda adicionamos outro **do** ao código para aumentar o tempo de processamento, sem alterar a relação com o  $N$ , e tornar mais fácil a análise. Os tempos obtidos e seus respectivos  $N$  foram escritos no terminal:

```
N igual a 50          N igual a 100
Tempo igual a 0.45E-01s Tempo igual a 0.17E+00s
```

```
N igual a 200         N igual a 400
Tempo igual a 0.66E+00s Tempo igual a 0.26E+01s
```

Ainda, foi construído uma análise comparando com alguns tempos estimados pela relação  $N^2$ , disposta no gráfico abaixo:

Figura 1: Gráfico Tempo x N



No qual, conseguimos observar uma equivalência entre a distribuição e o tempo medido.

### 3 Referências

- [1] - Nicholas J. Giordano, Computational Physics (Prentice Hall, New Jersey, 1997)
- [2] - Prof. Dr. Marcelo Andrade da Costa Vieira, Processamento Digital de Imagens Médicas: ppt. Disponível em: <https://edisciplinas.usp.br/pluginfile.php/4551919/mod-resource/content/0/Aula4-TransformadaFourier.pdf>. Acesso em: 25 mar. 2023